

## Werk

**Label:** Article

**Jahr:** 1932

**PURL:** [https://resolver.sub.uni-goettingen.de/purl?31311028X\\_0061|log80](https://resolver.sub.uni-goettingen.de/purl?31311028X_0061|log80)

## Kontakt/Contact

Digizeitschriften e.V.  
SUB Göttingen  
Platz der Göttinger Sieben 1  
37073 Göttingen

✉ [info@digizeitschriften.de](mailto:info@digizeitschriften.de)

## ČÁST FYSIKÁLNÍ.

---

### Mikrofotometrické studium „ionisačních“ linií *K*-serie.

V. Dolejšek-M. Engelmannová.

(Došlo 24. března 1932.)

V předchozích našich pracích<sup>1)</sup> podali jsme pro řadu prvků periodického systému měření a hodnoty tak zvaných ionisačních linií *K*-serie a ukázali jsme, že některé z těchto linií na př.  $K\alpha_3$ ,  $K\alpha_4$  (a též  $K\alpha_5$ ,  $K\alpha_6$ ) tvoří dublet irregulérní. To znamená, že差  $\Delta \sqrt{\nu/R} = (\sqrt{\nu/R})_{K\alpha_3} - (\sqrt{\nu/R})_{K\alpha_4}$  je konstantní ( $R$  je Rydbergova konstanta).

Idei<sup>2)</sup> studoval průběh těchto linií ionisačních, zvaných též linie nediagramové, od linií hlavních ( $K\alpha_{12}$ ). Našel, že též průběh těchto differencí  $\Delta \sqrt{\nu/R}$  dubletu  $K\alpha_3 K\alpha_4$  od linie hlavní  $K\alpha_1$  je přibližně konstantní (a rozšířil tento poznatek též pro ostatní nediagramové linie *K*-serie a linie *L*-serie). Výsledek jeho práce založený na experimentálních datech Hjalmaru, Wetterblada, Dolejskou, Dolejskou-Engelmannové je však v rozporu s údaji Richtmyera.

Richtmyer<sup>3)</sup> ve své práci založené na týchž datech doplněných několika daty svými (pz.: Richtmyer cituje jako data užitá pouze spektroskopii Siegbahnovu, kde jsou však uvedena táz data jako výše uvedeno) udává, že průběh odmocnin diferencí  $\sqrt{\Delta \nu/R}$  dubletu  $K\alpha_3 \alpha_4$  od linie hlavní je lineární funkcí atomového čísla, při čemž jako linii hlavní uvádí Richtmyer linii  $K\alpha_2$ .

<sup>1)</sup> V. Dolejšek-M. Engelmannová: Comptes Rendus de l'Académie de Science Paris 318, 188, 1929.

V. Dolejšek: Rozpravy české Akad. 40, 1924.

V. Dolejšek: Comptes Rendus de l'Académie de Science 441, 174, 1922.

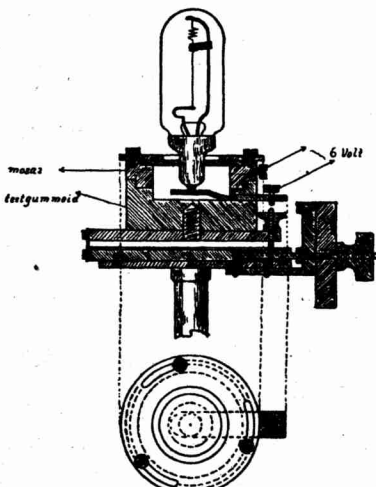
<sup>2)</sup> Sakae Idei: Science Reports of the Tohoku Imperial University, Japan 551, XIX, 1930.

<sup>3)</sup> F. K. Richtmyer, Phil. Mag. 6, 24, 1928.

F. K. Richtmyer and R. D. Richtmyer, Phys. Rev. 34, 574 (1929).  
Viz též M. Siegbahn: Spektroskopie der Röntgenstrahlen, Berlin 376, 1931.

Vztah, který udává Idei, může být pokládán pouze za přibližný. A to tím spíše, že průběh diference linií ionizačních od linií hlavních je velmi obtížno přesně určit. Neboť na většině snímků, kde se podaří (zvláště u vyšších prvků) obdržet linie  $K\alpha_3\alpha_4$  dosti silné a ostré, jsou hlavní linie tak přeexponované (a blízko), že nelze i hlavní linie dostatečně přesně měřit.

Ač při měření diference doubletu  $K\alpha_3-K\alpha_4$  samotného tato nesnáz odpadá a diferenči energetickou dubletu  $K\alpha_3K\alpha_4$  lze tudíž určiti poněkud přesněji, nelze ani zde pro mnohé obtíže experimentální dosíci přesnosti měření jako je možno docilit u linií



Obr. 1.

hlavních a jejich differencí. Proto pokusili jsme se rozšířiti naše měření za účelem verifikace námi zjištěné zákonitosti na pokud možno největší obor prvků.

Výsledky této práce jsou zajímavé také tím, že prováděny byly více mikrofotometricky než v pracích předchozích. Neboť v předchozích pracích nebylo možno mikrofotometricky zjistiti rozštěpení dubletu  $K\alpha_3\alpha_4$  u řady prvků z toho důvodu, že většina dobrých snímků s liniemi  $K\alpha_3\alpha_4$  má v těchto místech (v okolí hlavních linií) velikou hustotu černání. Při takové větší hustotě 0·9—1·4 nebylo nám dosud možno docílit při projekci štěrbiny na desku dostatečné intenzity světelné při ostrém zobrazení štěrbiny, konstantních podmínek provozních a při dostatečné citlivosti. Proto použili jsme nyní místo štěrbiny přímo vláknové žárovky projekční Philips pro zvukový film (6 Volt, 1·4 Amp).

Tloušťka vlákna samotného obnáší  $0\cdot10\text{ mm}$  a vlákno samo bylo přímo promítnuto na desku mikrofotometrovanou. Justační zařízení vlákna žárovky ukazuje názorně obr. 1. Ostatní zařízení bylo stejné, jaké se užívá při Mollově mikrofotometru (Kipp a Zonen, Holandsko). Mikrofotometrické křivky tímto zařízením získané ukázaly velmi značnou rozlišovací mohutnost i v místech s velkou hustotou černání, při níž dříve nebylo s mikrofotometrem možno pracovat.

Snímky byly exponovány na spektrografu, zhotoveném firmou J. J. Frič podle našich návrhů. Zdrojem proudu o vysokém napětí byl transformátor fy Siemens & Halske se čtyřmi ventilovými lampami. Chlazení antikatody a lampy vzhledem k dlouhým dobám expozičním a mocným energiím nutným k pohonu trubice muselo být dokonalé. Bylo exponováno při efektivním napětí průměrně 30 až 40 KV a při intensitě 15 až 20 MA. Doba expoziční byla pro  $K\alpha_1\alpha_2$  linie 1—3 min., u mohutných snímků (pro  $K\alpha_3\alpha_4$  linie) byla 3 až 6 hodin.

Linie byly proměřeny na Zeissově komparátoru a tato měření kontrolována mikrofotometricky. Mikrofotometrické křivky, jak jsme uvedli, byly zhotoveny na Mollově registračním mikrofotometru. U prvků nižších (Al, č. 13 a Mg č. 12) užito bylo vacuového spektrografova typu Siegbahnova s iontovou trubicí Dolejšek-Kunzla<sup>4)</sup> poháněnou transformátorem fy „Meta“ (ing. Vinopal)<sup>5)</sup> se čtyřmi usměrňujícími lampami A. E. G. (Výkon 2000 V, 3 Amp.).

Při práci byli jsme vedeni snahou, abychom docílili linií co nejostřejších. Za tím účelem jsme se snažili, abychom vyloučili eventuelní vlivy, jako na př. vliv chemické vazby na posun linií.

Novější práce týkající se ionisačních linií totiž ukázaly, že stejně jako u linií obloukových vlnová délka linií ionisačních závisí na chemické vazbě, v jaké se dotyčný prvek na antikatodě nachází. Stanovení tohoto vlivu je však již u hlavních linií obtížné. I pro linie hlavní je vliv chemické vazby bezpečně stanoven jen pro prvky nižší. U prvků středních a vyšších je sice možno docílit větší disperse, avšak vliv chemické vazby na vlnovou délku je zase menší.

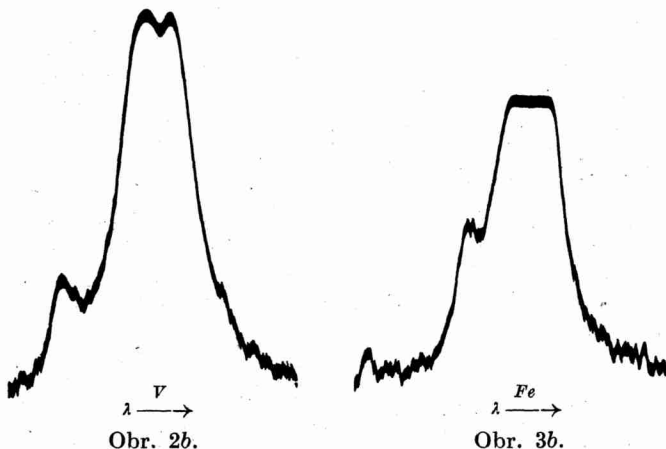
U linií ionisačních je stanovení vlivu chemické vazby ještě těžší. Neboť zvláště u středních a vyšších prvků jsou tyto linií těžko experimentálně obdržitelné; je nutno proto užít silných exposic a exponovati značně dlouho. Naproti tomu při stanovení vlivu chemické vazby musí látka na antikatodě zůstat během exposice ve svém původním chemickém stavu, což zase vyžaduje

<sup>4)</sup> V. Dolejšek-V. Kunzl: ŽS. f. Phys. 74, 565. 1932. Čas. J. Č. M. F. 61, 242, 1932.

<sup>5)</sup> Tato aparatura byla opatřena za přispění Rockefellerovy nadace.

exposic co možná nejkratších. Proto na př. Ray<sup>6)</sup> a Utrysko<sup>7)</sup> při stanovení tohoto vlivu užili krátkých (5 minutových) exposic.

Přesto, že stanovení vlivu chemické vazby se nedalo u linií ionisačních při použitých středních a vyšších prvků očekávat, nemůžeme naopak tento vliv při měření hodnot linií ionisačních zanedbat. Neboť s chemickou změnou nastalý posun vlnové délky, i když by se nedal přímo měřiti, mohl by způsobiti difusnost linií. Při separaci dubletů u vyšších prvků, kde je nutno docíliti linií co nejostřejších, mohl by tento vliv ztížiti případně i znemožnit rozštěpení dubletu. Z toho důvodu bylo v této práci použito látek, od nichž se mohlo očekávat, že budou na antikatodě nejstálejší. Byly to jednak oxydy, jednak volné nesloučené prvky.



U prvků nízkých Al a Mg (kde pracovali jsme s iontovou trubicí) pracovali jsme pouze s volnými nesloučenými prvky ve stavu nulvalentním. U prvků vyšších užili jsme někdy i oxydů, obyčejně též prvků volných. Výsledky u Al a Mg porovnány s výsledky jiných autorů ukázaly, že můžeme uvažovati získaný průběh diferencí všech prvků v naší práci jako průběh prvků volných.

Snímek linií aluminia byl reprodukován v předešlé práci jednoho z nás společně s V. Kunzlem jako ukázka výkonu trubice při malém napětí (2000 V).

Snímek magnesia (obr. 1) ukazuje ionisační linie  $K\alpha_3$ ,  $K\alpha_4$ ,  $K\alpha_5$ ,  $K\alpha_6$ ,  $K\alpha'$  (4 kráte zvětšeno). Metodou v citované práci uvedenou

<sup>6)</sup> B. Ray, Phil. Mag. 50, 505, 1925.

<sup>7)</sup> St. Utrysko, O periodických variacích dubletu  $K\alpha_1\alpha_2$ , dis. práce.

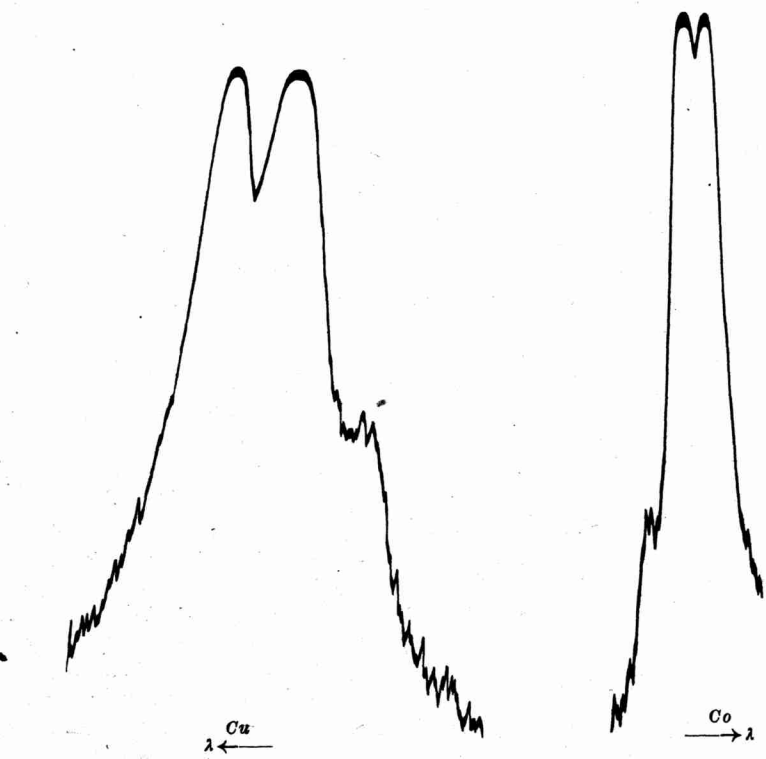
obdrželi jsme již řadu snímků aluminia, a rovněž i magnesia, takže můžeme již udat hodnoty naměřených ionisačních linií. Ze snímků je patrné, že linie  $K\alpha_3$ ,  $K\alpha_4$  a  $K\alpha'$  vystupují vždy odděleně a velmi ostře. Není však na žádném ze snímků s určitostí patrna multiplicita (otázka multiplicity těchto linií je speciálně studována K. Drábem) linie  $K\alpha_4$ , kterou u sousedního prvku Si (14) našli Bäcklin<sup>8)</sup> a Deodhar.<sup>9)</sup>

Rovněž na snímcích magnesia i aluminia není patrна linie  $K\alpha_7$ , nalezená jedním z autorů u vyšších prvků (at. č. 17 až 21). (U vyšších prvků podařilo se nám určiti tuto liniu ještě u Vanadia (V.23.)) Pro prvky at. č. 17 až 21 byl již dříve měřen dublet  $K\alpha_3 K\alpha_4$  odděleně až na prvek Sc (21). Nová měření u těchto prvků jsme v této práci nekonali, neboť jednak těžko jest zde vyloučit vliv chemické vazby, jednak mřížkové konstanty dosud známé nejsou pro tento obor, k rozštěpení  $K\alpha_3 \alpha_4$ , nejvhodnější. Též pro prvek Ti (22) neudáváme z tohoto důvodu hodnotu, neboť daleko větší přesnosti a rozštěpení dubletu bude možno docílit mřížkou křemene (plochy domatické), kterou určuje ve své disertační práci J. Köppel. Avšak u všech vyšších prvků od prvku V (23) počínaje, u nichž byl dosud dublet  $K\alpha_3 \alpha_4$  měřen jako jedna liniu, se nám podařilo tento dublet až na Zn (30) oddělit. Již u V (23) je tato diferenča velmi malá (ve vlnové délce) a jsou obě liniu velmi blízko u sebe, jak ukazuje obraz 2a a 2b. Obraz 2a ukazuje grupu  $K\alpha$  linií tohoto prvku (zvětšeno 4krát) a obraz 2b mikrofotometrickou křivku tohoto snímku v původní velikosti (převod 1 : 7; stejný převod a zvětšení je u dalších snímků). Mikrofotometrická křivka ukazuje zřejmě duplicitu linií  $K\alpha_3 K\alpha_4$ . Měření komparátorem jest již značně obtížnější než u nízkých prvků a bylo je možno prováděti pouze na velmi dobrých snímcích u tohoto prvku obdržených. Přesto nebylo zapotřebí liniu hlavní  $K\alpha_1 \alpha_2$  při dostatečné hustotě čar  $K\alpha_3 \alpha_4$  tak přeexponovati jako u prvků ještě vyšších. Obě liniu  $K\alpha_1 \alpha_2$  přes značné rozšíření možno od sebe ještě dobře rozeznati. Stejně tomu bylo u následujících prvků Cr (24) a Mn (25), kde podmínky jsou experimentálně ještě o něco obtížnější, poněvadž intensita v poměru ke  $K\alpha_1 \alpha_2$  liniím se stoupajícím atomovým číslem stále klesá a diferenča ve vlnové délce  $K\alpha_3 K\alpha_4$  se rovněž zmenšuje. Tak u vanadia (23) obnáší podle našich měření diferenča  $\Delta\lambda = 2.0$  X j., u Cr (24)  $\Delta\lambda = 1.8$  X j. u Mn (25)  $\Delta\lambda = 1.5$  X j. Na snímku železa, dalšího to prvku Fe (26), je nutna již taková přeexposice hlavních linií  $K\alpha_1 \alpha_2$ , že, jak ukazuje obraz č. 3a, obě liniu již téměř splývají. Na blízku  $K\alpha_3 \alpha_4$  linií nachází se  $K\beta_1$  manganu, jejíž šířka udává nám normální šířku  $K$ -linie, není-li přeexponovaná, nebo dvojitá. Obraz č. 3b ukazuje příslušnou

<sup>8)</sup> E. Bäcklin, ZS. f. Phys. 38, 215, 1926.

<sup>9)</sup> G. B. Deodhar, Nature, 125, 777, 1930.

mikrofotometrickou křivku a separování obou linií. U dalších prvků Co (27), Ni (28) a Cu (29) jsou přirozeně experimentální podmínky ještě obtížnější. Zvláště u Cu (29) pokoušela se řada autorů o důkaz duplicitu těchto linií. Pro tento prvek udal již dříve Dauvillier<sup>10)</sup> separované hodnoty linií  $K\alpha_3\alpha_4$ . Jemu se však přes zvětšenou dispersi nepodařilo linie rozštěpit. Jenom ze



Obr. 4b.

Obr. 5.

šířky pásu černání, jež byla asi dvakrát tak široká jako  $L\alpha$ , čára wolframu na téže desce se nacházející, usoudil, že jde o dvě vzájemně se dotýkající linie. Tyto dosti smělé předpoklady byly přijaty zprvu s nedůvěrou,<sup>11)</sup> neboť tenkráte nejbližše nižší prvek, u něhož byl dublet  $K\alpha_3\alpha_4$  odděleně měřen, bylo Ca (20). V předchozí

<sup>10)</sup> Dauvillier, Comtes Rendus, str. 443, 174, 1922.

<sup>11)</sup> Siegbahn, Spektroskopie d. Roentgenstrahlen, str. 181, I. vydání, 1924. V novém vydání jest již jeho hodnota uvedena.

naší práci<sup>12)</sup> se nám podařilo přímým rozštěpením těchto linií, (docílením veliké disperze, asi  $4 \cdot 5 \text{ X j.}$  na  $1 \text{ mm}$ ) uvedené předpoklady Dauvillierovy verifikovati.

Obraz 4a ukazuje jeden z nových takových snímků, na nichž se nám podařilo obě linie i u tohoto prvků separovati a differenci tohoto dubletu měřiti. Obraz 4b je příslušný graf. Při přímém měření tohoto dubletu se ukázalo, že obě linie rozštěpené nejsou stejně široké, nýbrž linie  $K\alpha_3$  je až o  $0 \cdot 2 \text{ X j.}$  širší než linie  $K\alpha_4$ . Proto z mnoha měření na různých snímcích byla určena nově námi hodnota tohoto dubletu, která se však od naší původní hodnoty velmi málo liší. Poněvadž se nám však podařilo u tohoto prvků (29) určiti šířku obou linií  $K\alpha_3 \alpha_4$  (rovněž u prvků nižších (26)) mohli jsme určiti i u prvků Cu sousedních Ni (28) a Co (27) differenci tohoto dubletu měřením celkové šířky linií  $K\alpha_3 \alpha_4$  a odečtením šířky obou linií. Zajímavé je, že přes to, že nám nebylo možno přímým pozorováním v komparátoru obě linie odděliti, ukazuje mikrofotometrická křivka, jak je patrno na křivce Co (obraz 5), zřejmou duplicitu linií  $K\alpha_3 \alpha_4$ .

Rozdělení dubletu  $K\alpha_3 \alpha_4$  u Cu (29) dokázali též Richtmyer a Taylor<sup>13)</sup> docílením veliké rozlišovací mohutnosti dvoukrystalovým ionisačním spektrometrem. Oba autoři, ač výsledky, ani naše, ani Dauvillierovy neudávají a patrně jich neznají, dospěli k hodnotám zcela shodným. Hodnota Dauvillierova obnáší  $\Delta\lambda = 1 \cdot 0 \text{ X j.}$ , hodnota naše  $\Delta\lambda = 0 \cdot 9 \text{ X j.}$ , hodnota Richtmyer a Taylorova  $\Delta\lambda = 1 \cdot 0 \text{ X j.}$

Toto potvrzení a shoda výsledků u Cu (29) je velmi důležité pro stanovení průběhu tohoto dubletu, jak je patrno z tab. 1. Neboť Cu (29) je nejvyšší prvek, u něhož se podařilo tyto linií separovat a řada prvků, pro něž byl průběh stanoven, sahá od prvků Na (11) až do Cu (29). Z tabulky je patrno, že pro nižší prvky existuje řada měření od různých autorů. U vyšších prvků jest to jediné Cu (29), kde je několik měření od různých autorů. Proto novým měřením stanovili jsme znova u Cu hodnotu  $\Delta\lambda = 0 \cdot 95 \text{ X j.}$  Podotýkáme, \*) že nové tyto hodnoty vlnových délek jsou stanoveny za účelem přesného stanovení diference dubletu  $K\alpha_3 \alpha_4$ . Nejsou a nemohou být však přesnější, než naše starší hodnoty  $K\alpha_3 \alpha_4$ , pokud se týká energetické diference  $K\alpha_{3,4} - K\alpha_{1,2}$ . Neboť aby differenze  $\Delta\lambda_{K\alpha_3 \alpha_4}$  byla stanovena co nejpřesněji, byly linií  $K\alpha_1 \alpha_2$  normálně tak přeexponovány, že stanovení  $\Delta\lambda = \lambda_{\alpha_1} - \lambda_{\alpha_2}$ , a tedy stanovení hodnoty  $\lambda_{K\alpha_3 \alpha_4}$  bylo méně přesné, než v případu předchozím. Proto udáváme vlnové délky těchto linií pouze za

<sup>12)</sup> Dolejšek-Engelmannová, Comptes Rendus, 1. c.

<sup>13)</sup> F. K. Richtmyer a L. S. Taylor, Physic. Rev. 1044, 36, 1930

\*) Viz tab. č. 1.

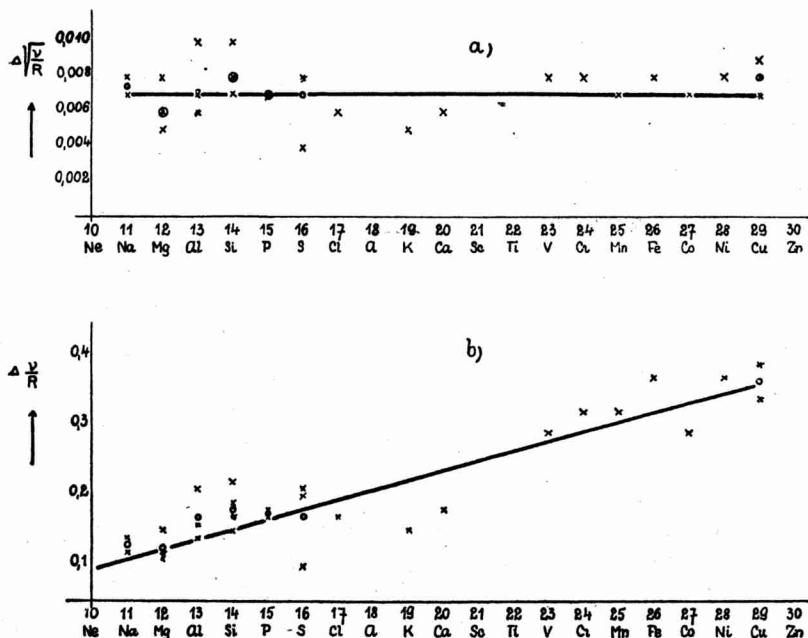
TABULKA 1.

A. č.	Autor	$\lambda \nu X. j.$		$\nu/R$		$\Delta \nu/R$		$\Delta \nu/R_{\text{střed}}$		$V/R$		$H/V$		$A/H$		$\Delta$ Volt		
		$a_3$	$a_4$	$a_3$	$a_4$	$a_3$	$a_4$	$a_3$	$a_4$	$a_3$	$a_4$	$a_3$	$a_4$	$a_3$	$a_4$	$a_3$	$a_4$	
11 Na	Hjalmar	11804	11783	77,19	77,33	0,14	0,13	8,786	8,793	0,008	0,0075	1,76						
	Wetterblad	11805	11787	77,19	77,31	0,12	—	8,786	8,793	0,007	0,0075	1,76						
12 Mg	Siegbahn-Stenström	9802	9791	92,96	93,07	0,11	—	9,641	9,647	0,005	0,0062	1,62						
	Hjalmar	9801	9788	92,97	93,09	0,12	0,12	9,642	9,648	0,006	0,0062	1,62						
13 Al	Dolejšek-Engelm.	9801,3	9785,5	92,97	93,12	0,15	0,12	9,642	9,650	0,008	0,0062	1,62						
	Siegb.-Stenstr.	9801,8	9788,3	92,97	93,09	0,12	—	9,642	9,648	0,006	0,0062	1,62						
14 Si	Hjalmar	8264	8254	110,26	110,40	0,14	—	10,500	10,507	0,007	0,0072	2,30						
	Wetterblad	8265,7	8254,1	110,24	110,40	0,16	0,17	10,500	10,507	0,006	0,0072	2,30						
15 P	Dol.-Eng.	8266,9	8251,2	110,23	110,44	0,21	0,17	10,499	10,509	0,010	0,0072	2,30						
	Siegb.-Stenstr.	7049	7041	129,27	129,42	0,15	—	10,500	10,507	0,006	0,0072	2,30						
16 S	Hjalmar	7064,7	7054,6	128,98	129,17	0,19	—	11,369	11,376	0,007	0,007	2,44						
	Backlin	7064,9	7055,2	128,98	129,16	0,17	0,18	11,357	11,365	0,008	0,008	2,44						
17 Cl	Deodhar	7067	7053	128,94	129,16	0,22	—	11,355	11,365	0,010	0,008	2,30						
	Siegb.-Stenstr.	7064,5	7055,5	128,99	129,16	0,17	—	11,357	11,365	0,008	0,007	2,30						
18 S	Hjalmar	6095	6088	149,50	149,68	0,18	0,17	12,227	12,234	0,007	0,007	2,30						
	Siegb.-Stenstr.	6103	6095,8	149,32	149,49	0,17	—	12,220	12,227	0,007	0,007	2,30						
19 K	Hjalmar	5317	5314	171,38	171,48	0,10	0,17	13,091	13,095	0,004	0,007	2,30						
	Dolejšek	5329,0	5322,4	171,00	171,21	0,21	—	13,076	13,084	0,008	0,008	2,30						
20 CuSO <sub>4</sub>	Hjalmar	5329,4	5323,3	170,99	171,19	0,20	—	13,076	13,084	0,008	0,008	2,30						
	Siegb.-Stenstr.	4692	4684	194,21	194,55	0,17	0,17	13,936	—	0,006	0,006	2,30						
21 Cl	Dolejšek	3724	3724	244,69	—	—	—	13,942	13,948	0,006	0,006	2,30						
	Siegb.-Stenstr.	3708,8	3708,8	245,70	—	—	—	15,642	—	—	—	2,03						
22 K	Hjalmar	3711,0	3708,8	245,56	245,71	0,15	0,15	15,670	15,675	0,005	0,005	2,03						
	Dolejšek	—	—	—	—	—	—	—	—	—	—	—						

A. č.	Autor	$\lambda \text{ v X. j.}$		$\nu/R$		$\Delta\nu/R$		$\sqrt{\nu/R}$		$\frac{\Delta\nu}{R}$		$\Delta V/\text{Volt}$
		$a_3$	$a_4$	$a_3$	$a_4$	$a_3$	$a_4$	$a_3$	$a_4$	$a_3$	$a_4$	
20 Ca	Siegb.-Stenstr. Dolejšek	3328 3332,3	3330,0	273,81 273,47	273,65	0,18	0,18	16,547 16,537	16,543	—	0,006	2,44
21 Sc	Siegb.-Stenstr. Dolejšek	3011 3006	302,64 303,15	—	—	—	—	17,396 17,411	—	—	—	—
22 Ti	Siegb.-Stenstr. Dolejšek	2729 2726,9	333,91 334,18	—	—	—	—	18,273 18,281	—	—	—	—
23 V	Dolejšek Dol.-Eng.	2484,6 2485,9	2483,9	366,77 366,57	366,86	0,29	0,29	19,151 19,146	19,154	—	0,008	0,008
24 Cr	Dolejšek Dol.-Eng.	2273,3 2274,2	2272,4	400,86 400,69	401,01	0,32	0,32	20,022 20,017	20,025	—	0,008	3,93
25 Mn	Dolejšek Dol.-Eng.	2087,9 2087,7	2086,2	436,45 436,48	436,80	0,32	0,32	20,891 20,893	20,900	—	0,008	4,33
26 Fe	Dolejšek Dol.-Eng.	1923,3 1924,2	1922,7	473,81 473,57	473,94	0,37	0,37	21,767 21,762	21,770	—	0,007	4,33
27 Co	Dolejšek Dol.-Eng.	1777,4 1777,7	1776,7	512,70 512,60	512,89	0,29	0,29	22,643 22,640	22,647	—	0,007	3,93
28 Ni	Dolejšek Dol.-Eng.	1647,6 1648,1	1647,0	553,09 552,91	553,28	0,37	0,37	23,518 23,514	23,522	—	0,008	5,00
29 Cu	Dolejšek Dauvillier Dol.-Eng. 1929 Wennerlöf Richtmyer-Taylor Dol.-Eng. 1932	1530,75 1531,3 1531,15 1530,91 1531,15 1531,10*	1530,3 1530,2 1530,2 595,247 595,14 595,17	595,30 595,09 595,17 595,51 595,14 595,17	595,48 595,48 595,51 — 595,53 595,51	0,39 0,34 0,37 — 0,39 0,34	—	24,399 24,394 24,396 24,398 24,395 24,396	— 24,402 24,402 — 24,404 24,402	0,008 0,007 0,007 — 0,009 0,007	0,008	5,00
30 Zn	Dolejšek Dol.-Eng.	1426,4 1426,24	—	638,86 638,92	—	—	—	25,275 25,273	—	—	—	—

účelem přehledu a počítání konstant a nezabýváme se blíže průběhem  $K\alpha_1 - K\alpha_3 \alpha_4$ .

Z tabulky č. 1 a z grafu č. 1a jest patrno, že hodnoty  $\Delta \sqrt{\nu/R}$  od prvku Na (11) až do Cu (29) v mezích přesnosti nejeví pro celý tento obor prvků žádný systematický chod. Pokud jsou na některých místech u jednotlivých autorů poněkud odchylnější hodnoty,



Graf. 1.

je to zpravidla na místech, kde náhlou změnou disperse při měření se mění přesnost. Ani tyto odchylky však nepřesahují meze přesnosti, jak patrno z grafu č. 1a kolísají jednotlivé hodnoty nepravidelně kolem průměrné hodnoty 0,0071. Tato průměrná hodnota je v grafu č. 1a vyznačena přímkou rovnoběžnou s osou úseček. Že skutečně se jedná o dublet, jehož  $\Delta \sqrt{\nu/R} = \text{konst.}$ , je patrno z grafu č. 1b, kde naneseny jsou diference  $\Delta \nu/R$  jako funkce atomového čísla. Je patrno, že jak  $\Delta \sqrt{\nu/R} = \text{konst.}$ , tak  $\Delta \nu/R$  mění se lineárně s atomovým číslem jeví tedy dublet  $K\alpha_3 K\alpha_4$  průběh dubletu iregulerního. Námi v dřívějších pracích uvedená zákonitost jest tím bezpečně verifikována.